

Wess-Zumino-Witten modelにおける entanglement asymmetryの解析

藤村晴伸

共同研究者：嶋守聰一郎

大阪大学素粒子論研究室

2025/9/17 13:30~13:45

[arXiv: 2509.05597v2](https://arxiv.org/abs/2509.05597v2)



1. Introduction

本発表のトピック：

量子情報理論

応用

対称性の破れとその回復

Take home message :

量子情報的な観点を用いることで、対称性の破れとその回復に対する新たな側面を見ることができる。

1. Introduction

Conventionalな方法 : order parameter $\langle \mathcal{O} \rangle$ を計算する。

$$\langle \mathcal{O} \rangle \left\{ \begin{array}{l} = 0 : \text{対称性がある} \\ \neq 0 : \text{対称性が破れている} \end{array} \right.$$

量子情報的な方法 : 相対エントロピー ΔS を用いる。

Entanglement asymmetry

[Ares-Murciano-Calabrese, 2022]

- メリット** $\left\{ \begin{array}{l} \cdot \text{対称性の破れの大きさを定量化できる。} \\ \cdot \text{非平衡状態に対しても自然に使える。} \\ \cdot \text{量子Mpembe効果という物理現象を見ることができる(後述)} \end{array} \right.$

1. Introduction

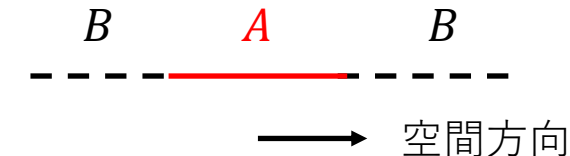
非平衡状態が現れる状況として以下を考える：

対称性のあるHamiltonianによるクエンチ

全体系= $A \cup B$ ， A ：注目している系

$|\psi_{AB}(0)\rangle$ ：対称性がexplicitに破れた状態

$|\psi_{AB}(t)\rangle = e^{-iHt}|\psi_{AB}(0)\rangle$ ， H ：対称性のあるHamiltonian



→ 部分系 A だけに注目すれば、時間発展によって対称性が回復する。

1. Introduction

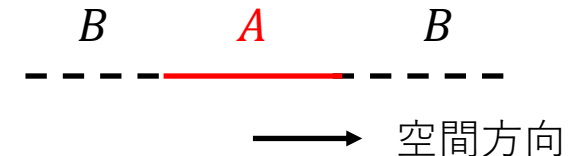
非平衡状態が現れる状況として以下を考える：

対称性のあるHamiltonianによるクエンチ

全体系 = $A \cup B$, A : 注目している系

$|\psi_{AB}(0)\rangle$: 対称性が explicit に破れた状態

$|\psi_{AB}(t)\rangle = e^{-iHt} |\psi_{AB}(0)\rangle$, H : 対称性のある Hamiltonian



→ 部分系 A だけに注目すれば、時間発展によって対称性が回復する。

量子情報的な方法により、以下の現象が見つかった。

量子 Mpemba(ムペンバ)効果 … 対称性の破れが **大きい** 状態ほど、対称性の回復が **早く** なる現象

[Mpemba-Osborn, 1969] [Ares-Murciano-Calabrese, 2022]

→ 直感に反する現象 : e.g. “熱いコーヒーがぬるいコーヒーよりも早く冷める”

1. Introduction

量子情報的な方法 [Ares-Murciano-Calabrese, 2022]

仮定

- ・理論に対称性 G がある
- ・Hilbert空間のテンソル積構造: $\mathcal{H}_{tot} = \mathcal{H}_A \otimes \mathcal{H}_B$



$$U_{tot}(g) = U_A(g) \otimes U_B(g), \quad g \in G$$

:symmetry operatorのテンソル積構造

Entanglement Asymmetry (EA): 部分系における対称性の破れを定量化する量

$$\Delta S_A \equiv \underline{\Delta S(\rho_A | \rho_{A,G})} = \text{Tr}_A [\rho_A (\log \rho_A - \log \rho_{A,G})]$$

相対エントロピー

ρ_A : 注目している系 A の密度行列(一般には対称性を持たない)

$$\rho_{A,G} \equiv \underline{\int_G dg} \, U_A(g) \rho_A U_A^\dagger(g) \quad : \text{対称化された密度行列}$$

Haar積分

1. Introduction

EAの重要な性質：

1. 任意の状態に対して定義される→非平衡状態も扱える。

2. 非負性：

$$\left\{ \begin{array}{l} \Delta S_A = 0 \Leftrightarrow [\rho_A, U_A(g)] = 0 \text{ (対称性がある)} \\ \Delta S_A > 0 \Leftrightarrow [\rho_A, U_A(g)] \neq 0 \text{ (対称性の破れ)} \end{array} \right. \quad [\text{Kullbck-Leibler, 1951}]$$

3. 部分系における対称性の破れの定量化：

$$0 < \underline{\Delta S_A} < \underline{\Delta S'_A}$$

対称性の破れが 小さい 大きい



EAは対称性の破れを定量化する性質の良い量

1. Introduction

これにより対称性の回復に関する量子Mpemba効果が盛んに研究されるようになった。

先行研究 (量子Mpemba効果)

- ・量子スピン系(空間1次元、2次元、可積分系) [Murciano et al, 2023] and so on
- ・実験的な検証 [Joshi et al, 2024] and so on
- ・(1+1)次元共形場理論($U(1)$ に限る) [Benini-Godet-Singh, 2024]



先行研究では $U(1)$, \mathbb{Z}_N といったAbelianの対称性のみを扱っている。
non-Abelianに対する量子Mpemba効果はまだよくわかっていない(特に場の理論)。

1. Introduction

これにより対称性の回復に関する量子Mpemba効果が盛んに研究されるようになった。

先行研究 (量子Mpemba効果)

- ・量子スピン系(空間1次元、2次元、可積分系) [Murciano et al, 2023] and so on
- ・実験的な検証 [Joshi et al, 2024] and so on
- ・(1+1)次元共形場理論($U(1)$ に限る) [Benini-Godet-Singh, 2024]



先行研究では $U(1)$, \mathbb{Z}_N といったAbelianの対称性のみを扱っている。
non-Abelianに対する量子Mpemba効果はまだよくわかっていない(特に場の理論)。

本研究

- ・Wess-Zumino-Witten modelを用いて $SU(N)$ 対称性に対するEAを一般の N で厳密に解析した。
- ・量子Mpemba効果が**non-Abelian**に対しても存在することを初めて示した。
- ・**新しいタイプの量子Mpemba効果を発見した**(後述)。

2. 本研究の内容

2. 本研究の内容

$\widehat{su}(N)_k$ Wess-Zumino-Witten model (2次元CFT) を考える。

Mermin-Wagnerの定理より、自発的対称性の破れは起こらない。[Mermin-Wagner, 1966]

初期状態

$$|\psi_{AB}(t=0)\rangle = \Phi_i(x_0, \tau_0)|0\rangle$$

Φ_i : 基本表現のプライマリ場
($i = 1, \dots, N$)

$SU(N)$ 対称性を explicit に破る状態

部分系 A に注目



$$\rho_A = \text{Tr}_B[|\psi_{AB}\rangle\langle\psi_{AB}|] =$$

Euclid
時間
↑
→ 空間

$$\times \Phi_i^\dagger$$

$$A =$$

$$\times \Phi_i$$

経路積分表示

計算する量: Rényi EA

$$\Delta S_A^{(n)} \equiv \frac{1}{1-n} \log \frac{\text{Tr}_A[\rho_{A,G}^n]}{\text{Tr}_A[\rho_A^n]}, \quad \lim_{n \rightarrow 1} \Delta S_A^{(n)} = \Delta S_A$$



Rényi EAの時間発展を見ることで、部分系における対称性の回復を調べられる。

2. 本研究の内容

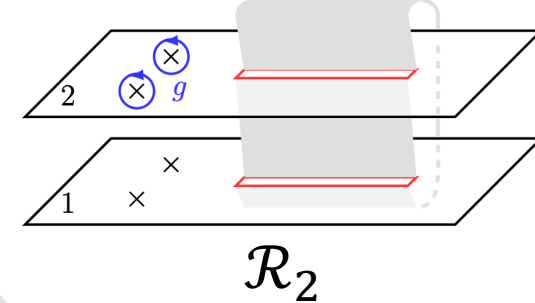
簡単のため $\Delta S_A^{(2)}(n=2)$ を考える。

解析方法の概要:

レプリカ法

[Benini et al, 2024]

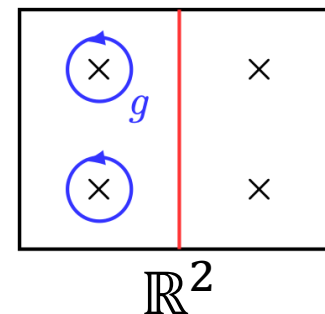
$$\text{Tr}_A[\rho_{A,G}^2] \sim$$



共形変換

[He et al, 2024]

$$\mathcal{R}_2 \rightarrow$$



4点関数の計算

[Knizhnik et al, 1984]

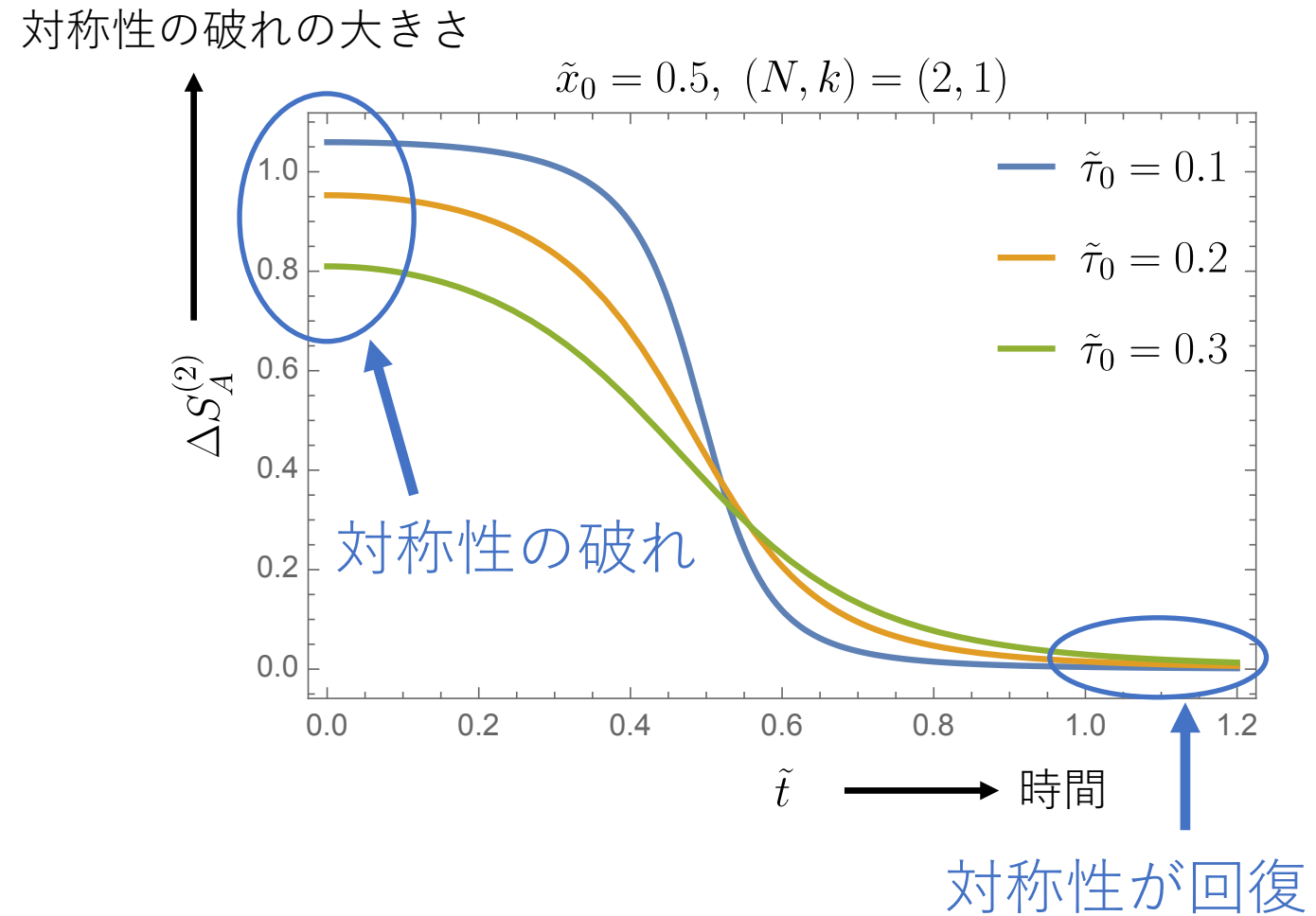
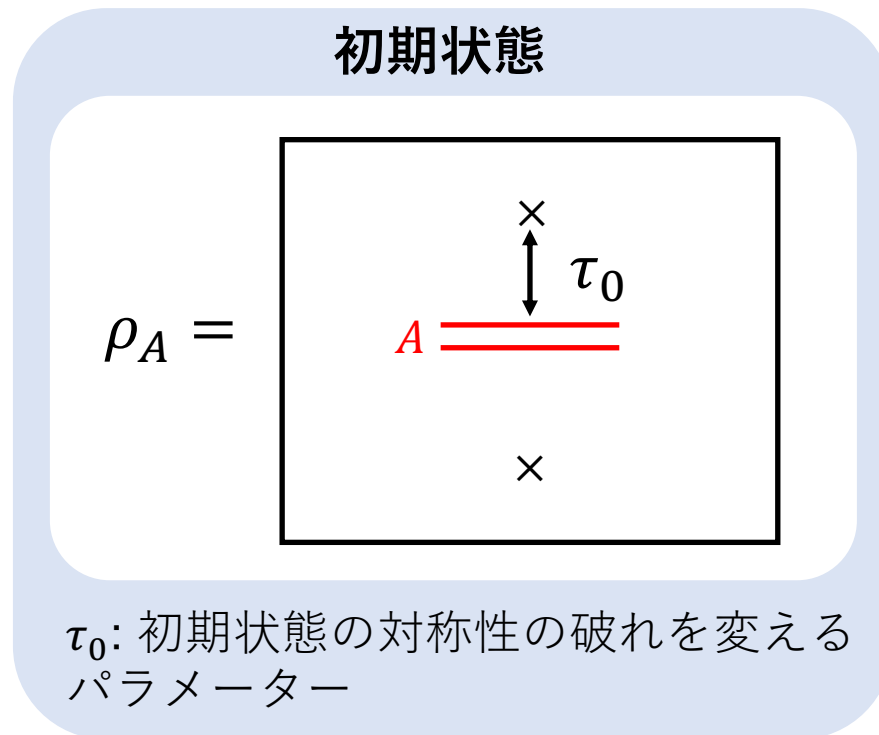
$$\langle \Phi_i \Phi_j^\dagger \Phi_k \Phi_\ell^\dagger \rangle$$

→ 解析形が知られている

→ これらの手法を組み合わせて、 $\widehat{\mathfrak{su}}(N)_k$ WZW modelにおける Rényi EAを厳密に導出した。

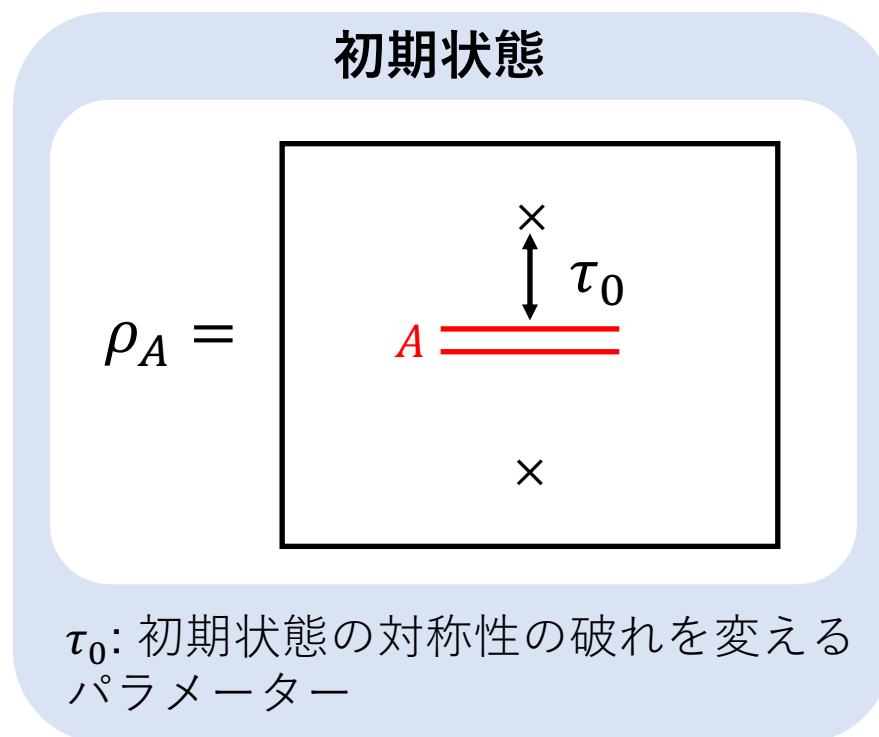
2. 本研究の結果

時間発展により $SU(N)$ 対称性の回復を見る。

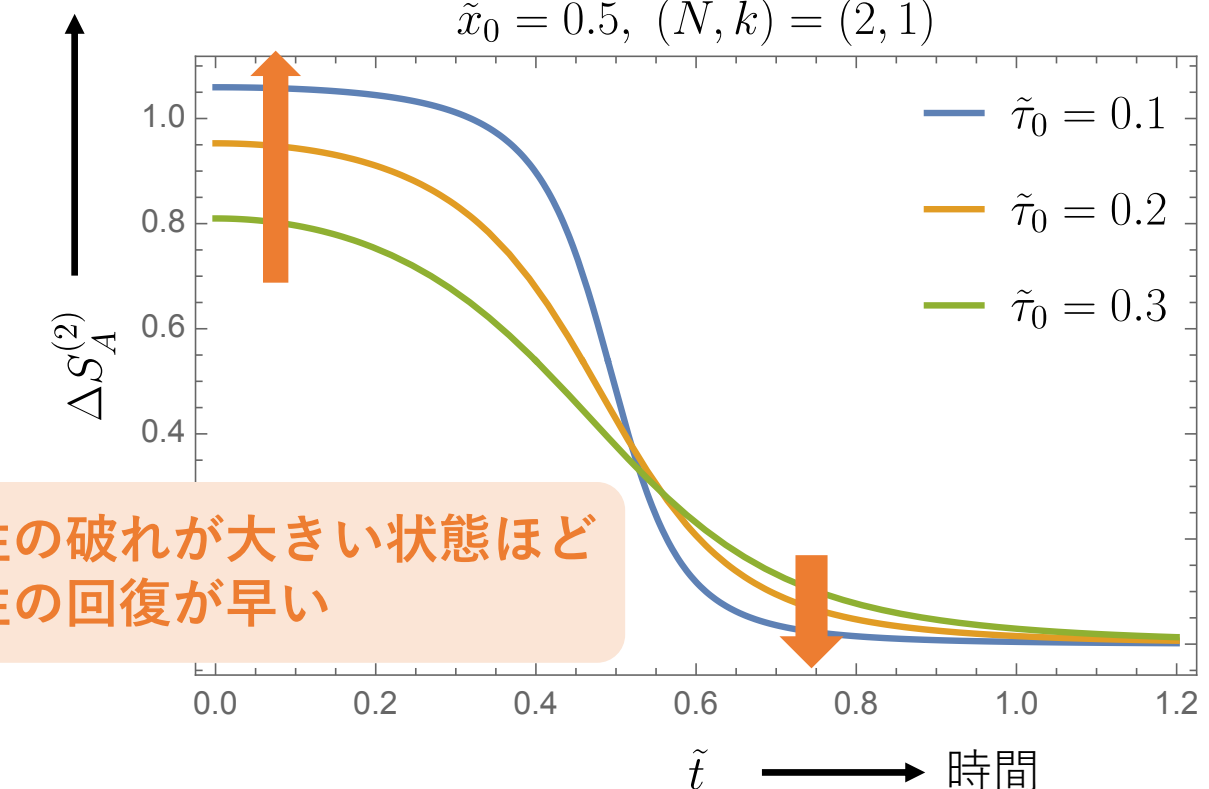


2. 本研究の結果

時間発展により $SU(N)$ 対称性の回復を見る。
(N は固定)



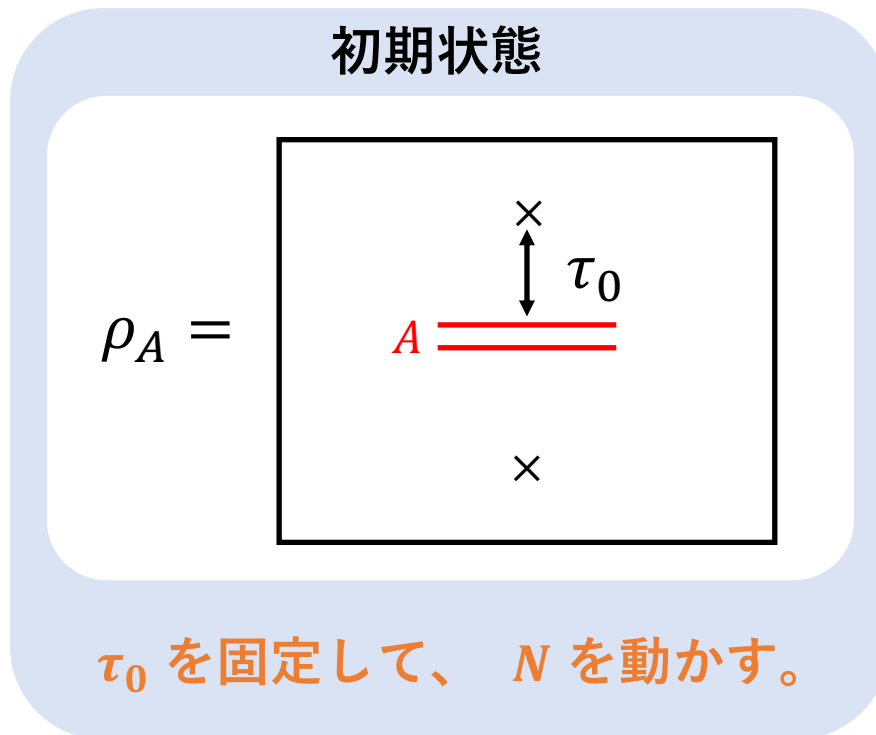
対称性の破れの大きさ



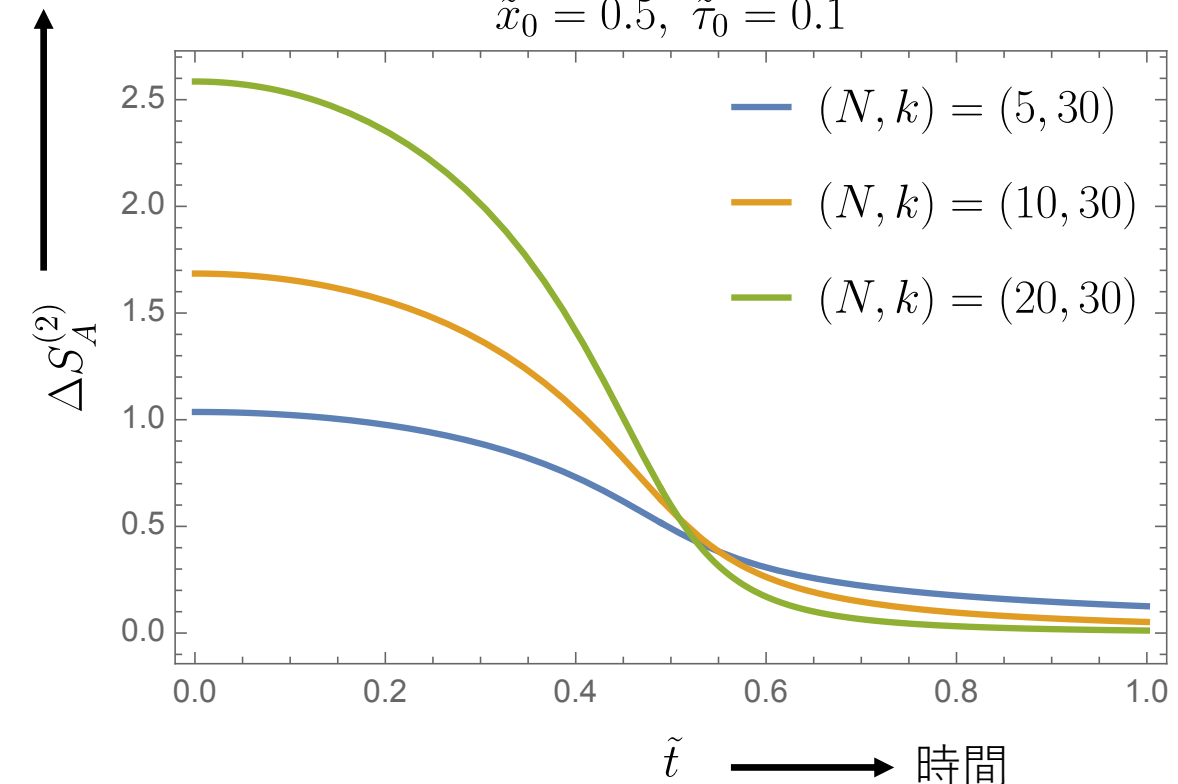
→ Non-Abelianで量子Mpemba効果があることを解析的に示した。

2. 本研究の結果

$SU(N)$ のランク N の依存性を見る。

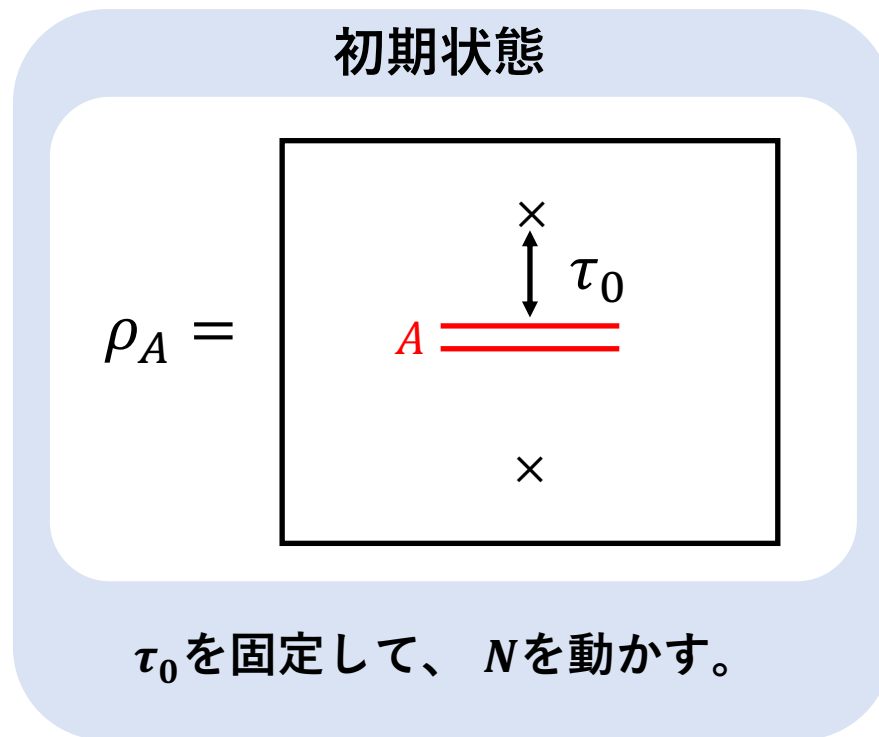


対称性の破れの大きさ

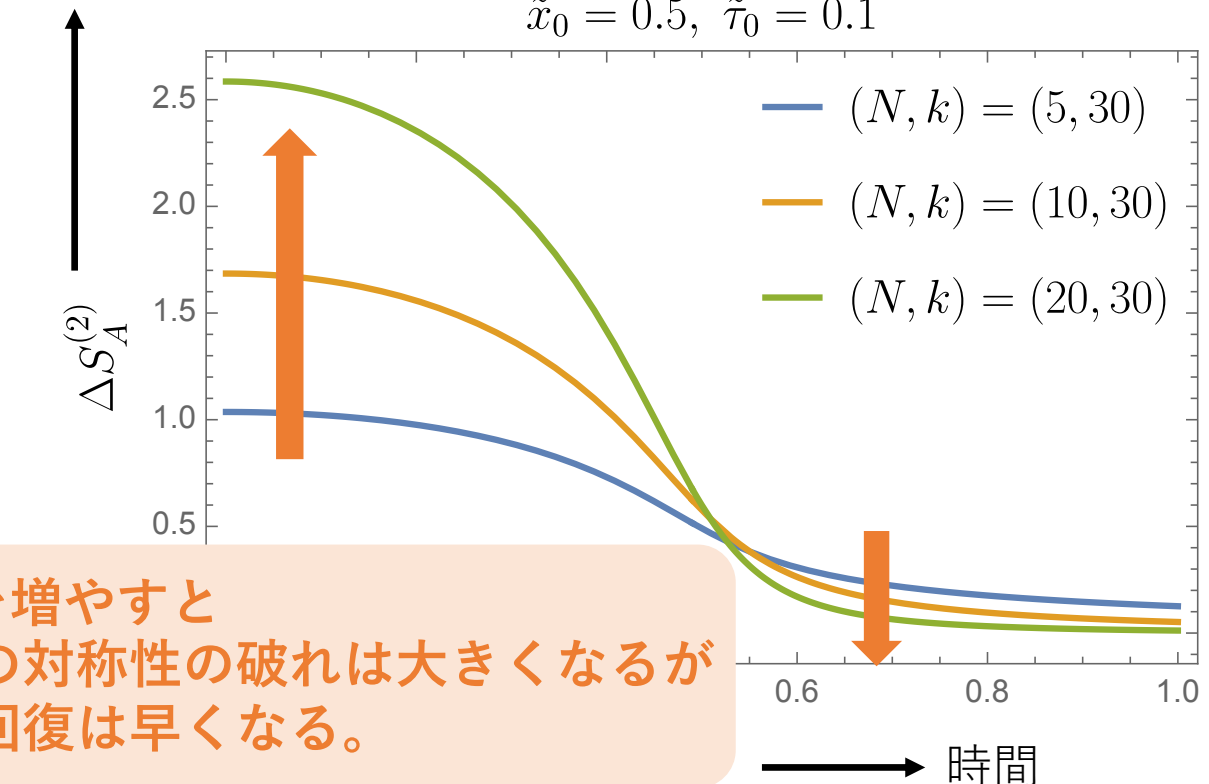


2. 本研究の結果

$SU(N)$ のランク N の依存性を見る。



対称性の破れの大きさ



→ 新しいタイプの量子 Mpemba 効果を発見した。

3. まとめ

今回発表した内容は結果の一部。

時間の都合上紹介できなかった内容

- ・準粒子状態による物理的解釈
- ・level k 依存性とその量子Mpemba効果
- ・初期状態としてWZWカレント(隨伴表現)を用いた場合: $|\psi_{AB}(t=0)\rangle = J^a |0\rangle$



[arXiv: 2509.05597v2](https://arxiv.org/abs/2509.05597v2)

この発表のまとめ

- ・近年では量子情報的な観点から対称性が調べられている→量子Mpemba効果
- ・先行研究ではAbelianが主に扱われ、non-Abelianに対する量子Mpemba効果はよくわかっていなかった。
- ・本研究では $\widehat{su}(N)_k$ WZW modelを用いて **non-Abelianでも量子Mpemba効果があることを初めて示した。**
- ・さらに、**新しいタイプの量子Mpemba効果を発見した。**

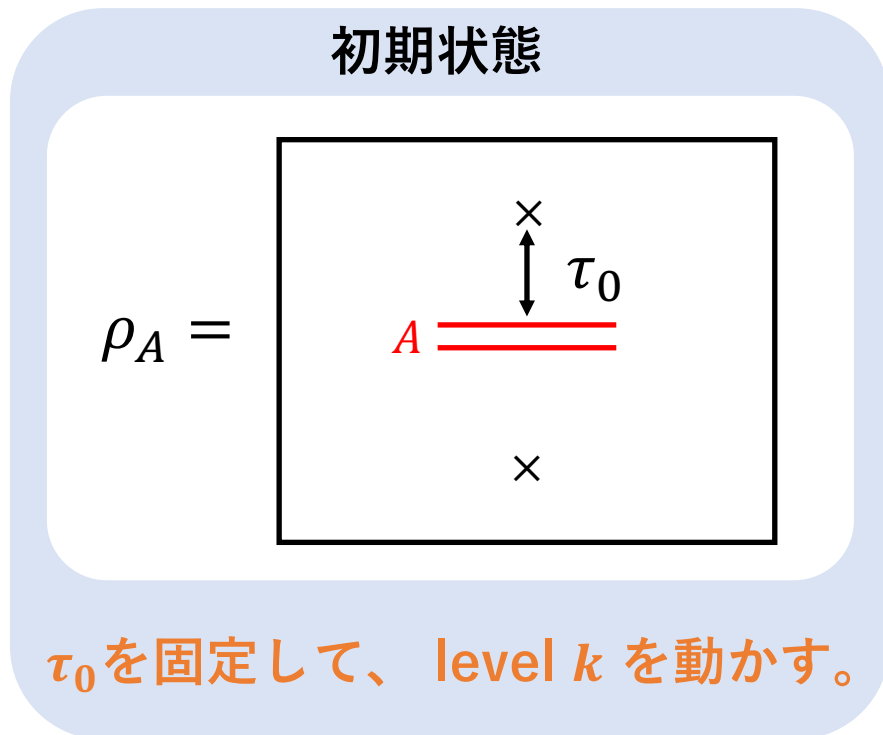
Appendix

Appendix: 今後の展望

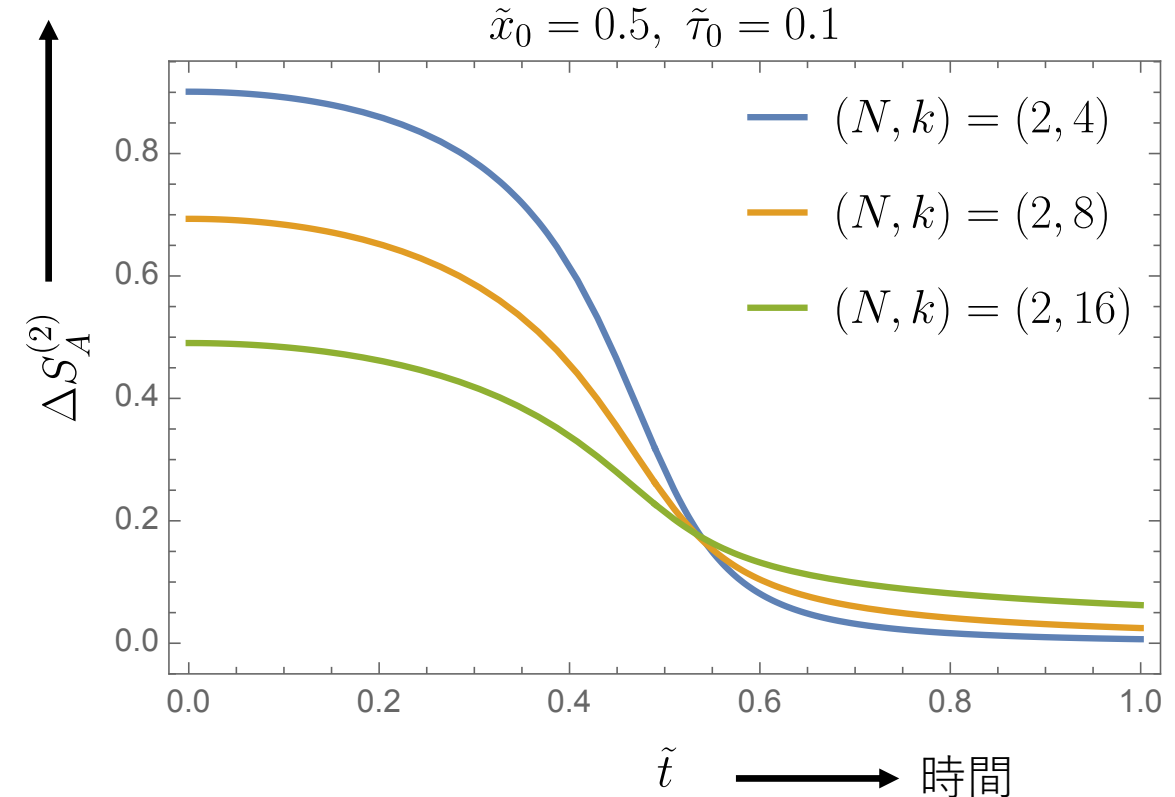
- $\widehat{so}(N)_k, \widehat{sp}(N)_k$ 対称性への拡張→今回の解析がstraightforwardに使える。
- 今回は基本表現と随伴表現を考えたが、他の表現で量子Mpemba効果があるかどうか。
- 量子Mpemba効果に対する有限温度効果
- 量子Mpemba効果のmicroscopicな起源と物理的解釈

Appendix: level k 依存性について

Level k 依存性を見る。

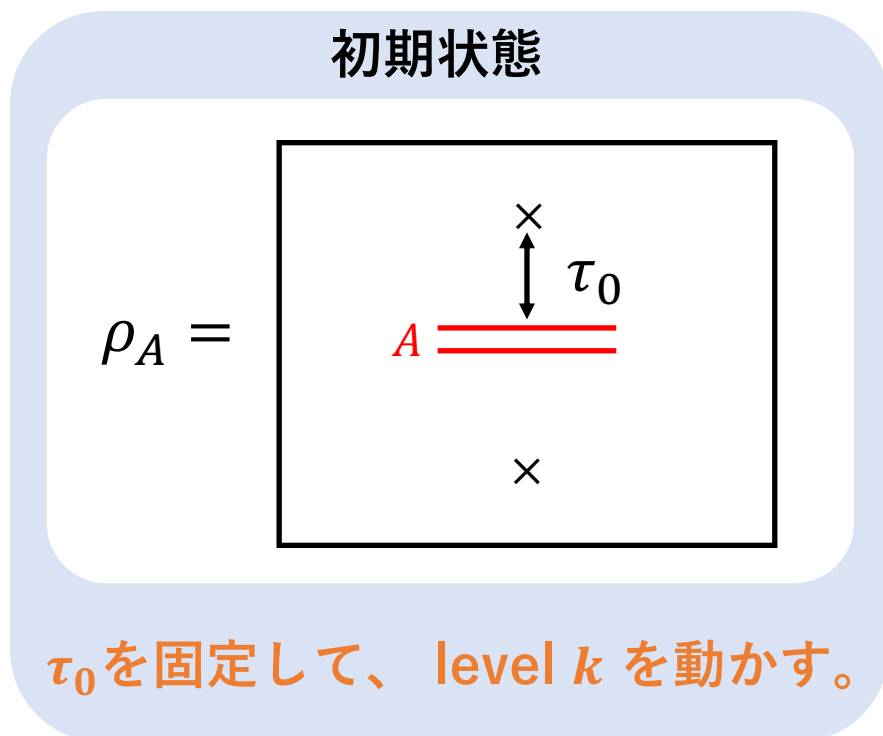


対称性の破れの大きさ

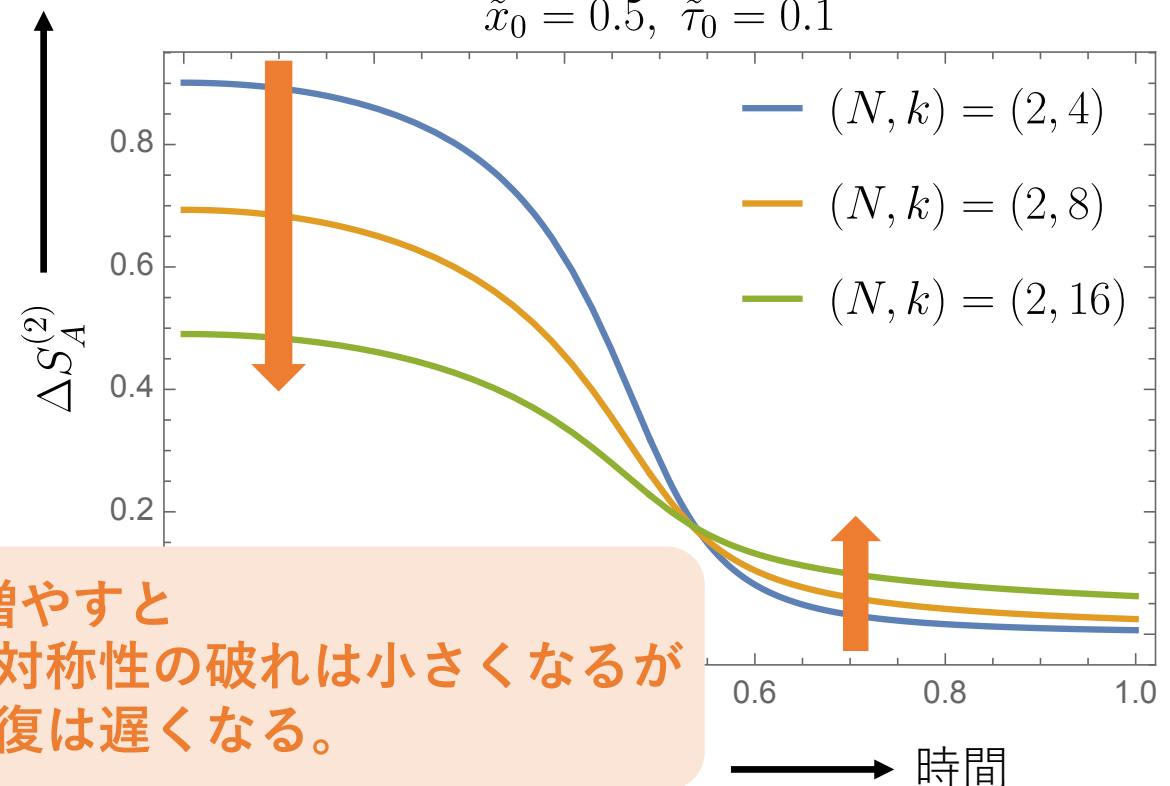


Appendix: level k 依存性について

Level k 依存性を見る。



対称性の破れの大きさ



→ これも新しいタイプの量子Mpemba効果。

Appendix: カレントに対するEA

τ_0 依存性((N, k) は固定)

初期状態

$$|\psi_{AB}(t=0)\rangle = J^a(x_0, \tau_0)|0\rangle$$

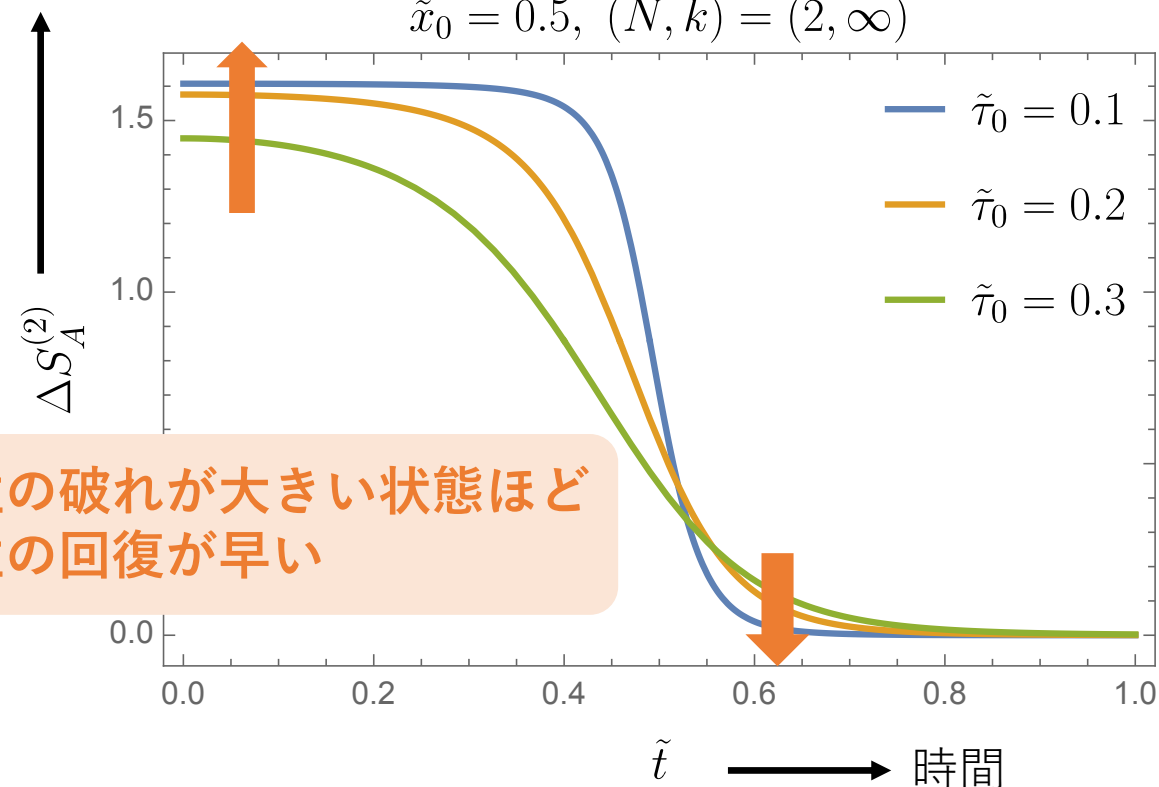
J^a : 隨伴表現のWZWカレント

$$a = 1, \dots, N^2 - 1$$

$$\rho_A = \boxed{A = \overbrace{\hspace{1cm}}^{\tau_0} \times}$$

簡単のため、 $k \rightarrow \infty$ の極限を取る。

対称性の破れの大きさ



対称性の破れが大きい状態ほど
対称性の回復が早い



Appendix: カレントに対するEA

N 依存性(τ_0 は固定)

初期状態

$$|\psi_{AB}(t=0)\rangle = J^a(x_0, \tau_0)|0\rangle$$

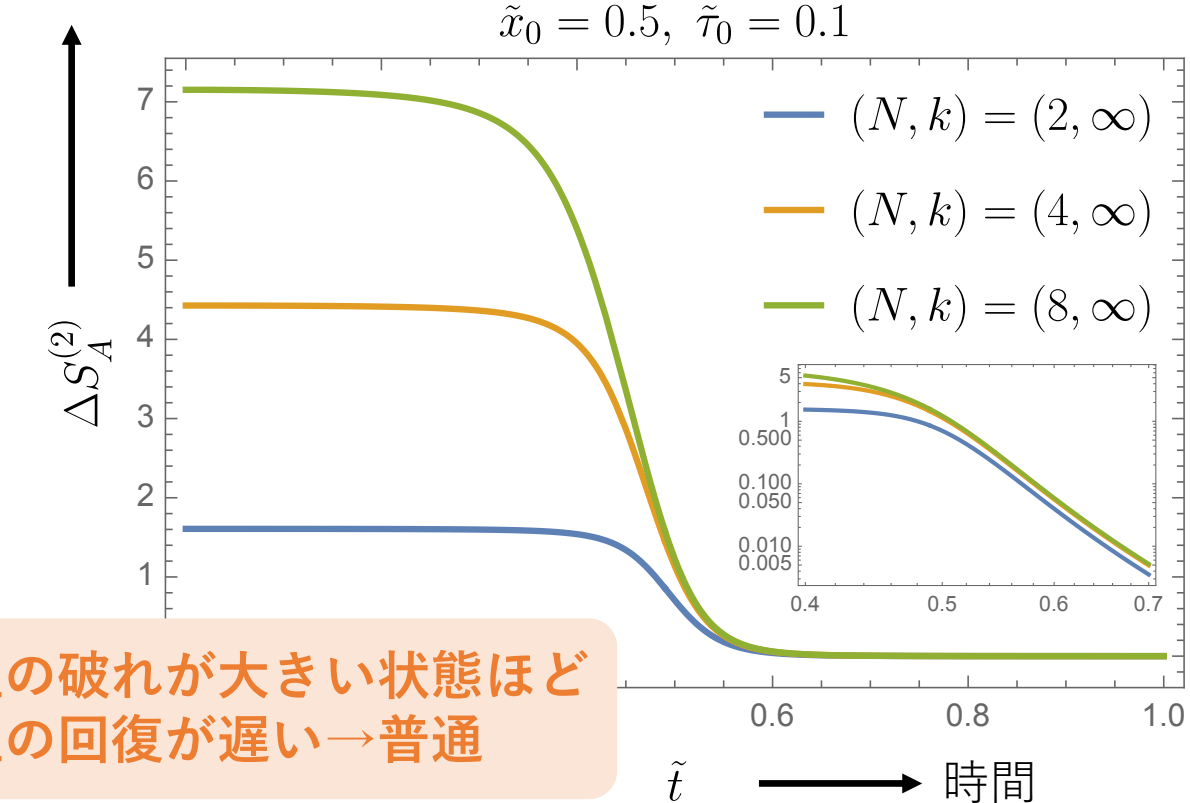
J^a : 隨伴表現のWZWカレント

$$a = 1, \dots, N^2 - 1$$

$$\rho_A = \begin{array}{c} \boxed{\begin{array}{c} \times \\ \updownarrow \tau_0 \\ A = \hline \end{array}} \\ \times \end{array}$$

簡単のため、 $k \rightarrow \infty$ の極限を取る。

対称性の破れの大きさ



→ この場合は新しいタイプの量子Mpemba効果はなし。

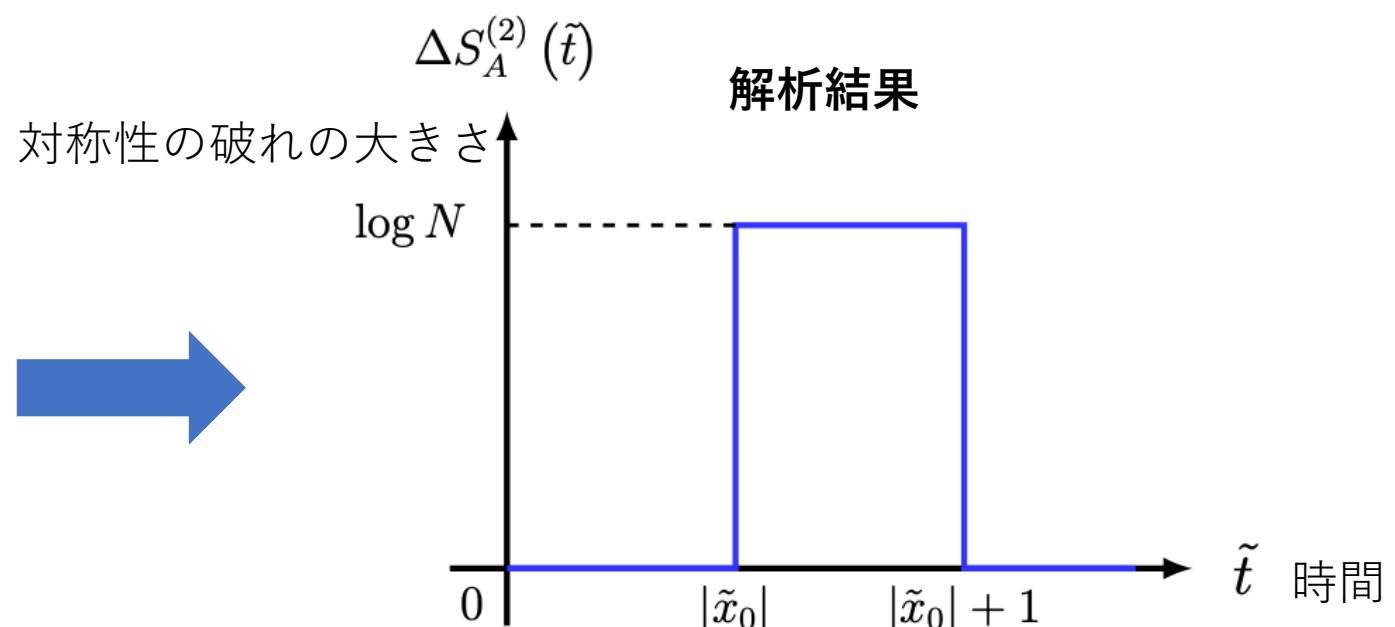
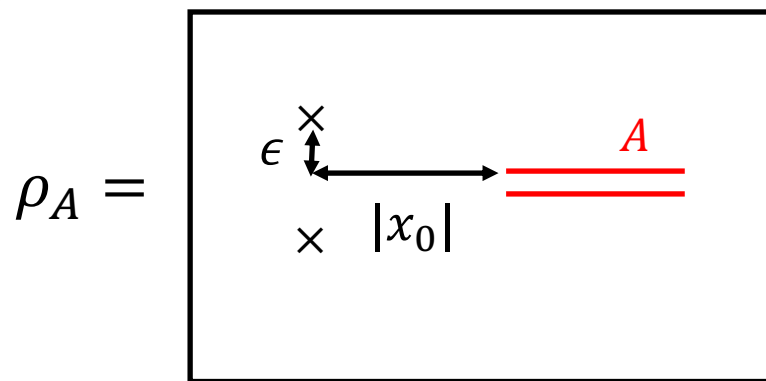
Appendix: 準粒子状態による解釈について

初期状態

$$|\psi_{AB}(t = 0)\rangle = \Phi_i(x_0, \tau_0)|0\rangle$$

Φ_i : 基本表現のプライマリ場
($i = 1, \dots, N$)

$\tau_0 \rightarrow 0$ の極限を考える。



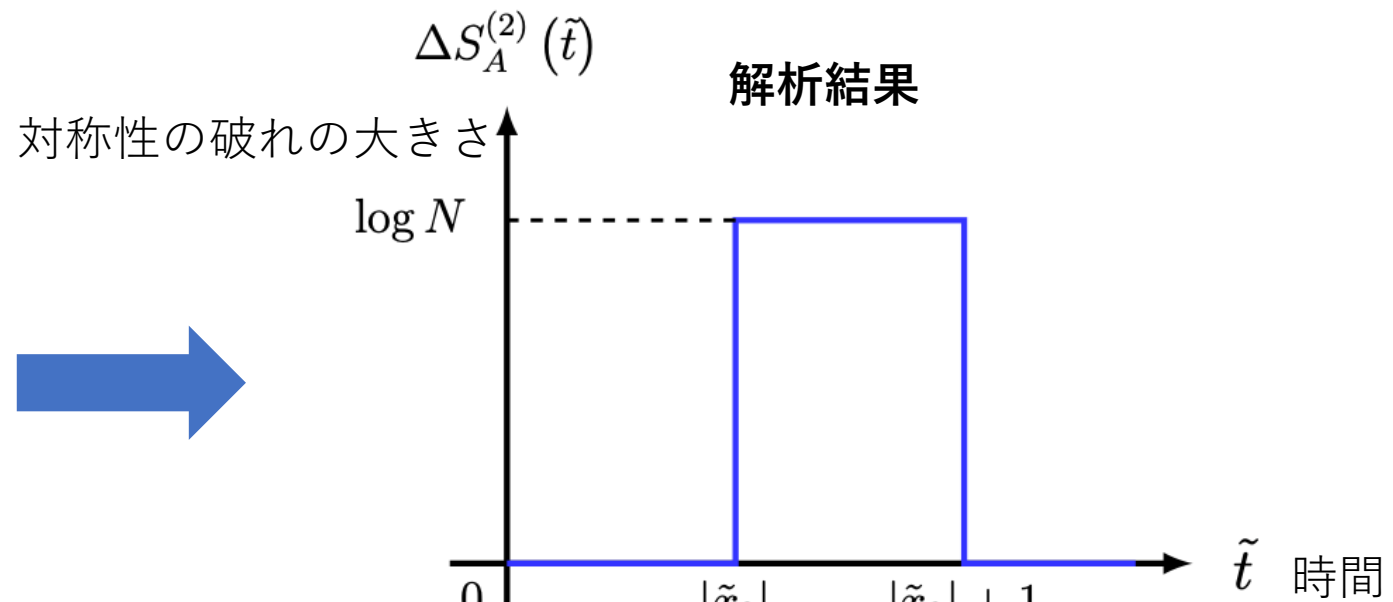
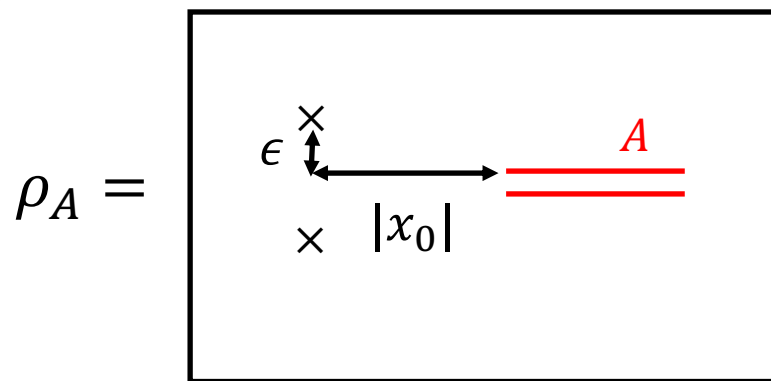
Appendix: 準粒子状態による解釈について

初期状態

$$|\psi_{AB}(t = 0)\rangle = \Phi_i(x_0, \tau_0)|0\rangle$$

Φ_i : 基本表現のプライマリ場
($i = 1, \dots, N$)

$\tau_0 \rightarrow 0$ の極限を考える。



物理的解釈

